

# Próstalumin®

18F-PSMA-1007

"A GAME CHANGER IN THE PROSTATE CANCER MANAGEMENT"



Στοχεύοντας το PSMA

- ✓ Ακριβέστερη αρχική σταδιοποίηση
- ✓ Έγκαιρος εντοπισμός της υποτροπής
- ✓ Προϋπόθεση για τα Thera(g)nostics

Η εξέταση PET PSMA πλέον συνταγογραφείται

Το πρώτο εγκεκριμένο από τον ΕΟΦ φαρμακευτικό προϊόν για PET PSMA απεικόνιση.

Η διαγνωστική εξέταση πραγματοποιείται σε κάθε Τμήμα Πυρηνικής Ιατρικής με PET/CT εξοπλισμό.

Πριν την συνταγογράφηση της ιατρικής εξέτασης, συμβουλευτείτε την ΠΧΠ του προϊόντος.

Βοηθήστε να γίνουν τα φάρμακα πιο ασφαλή και  
Αναφέρετε  
ΟΛΕΣ τις ανεπιθύμητες ενέργειες  
για ΌΛΑ τα φάρμακα  
Συμπληρώνοντας την "ΚΙΤΡΙΝΗ ΚΑΡΤΑ"



**BIOKOSMOS**  
RADIOPHARMACEUTICALS

ΒΙΟΚΟΣΜΟΣ Α.Ε.Β.Ε. | ΠΑΡΑΓΩΓΗ ΡΑΔΙΟΦΑΡΜΑΚΩΝ  
Έδρα - Μονάδα Παραγωγής Λαυρίου: Θέσα Πάνορμος, 19500 Λαύριο  
Μονάδα Παραγωγής Λακκώματος: Λάκκωμα, 63080 Ν. Καλλικράτεια  
ΤΗΛ: 22920 63900 | FAX: 22920 69235  
[www.biokosmos.gr](http://www.biokosmos.gr)

Τρόπος Διάθεσης: Μόνο για νοσοκομειακή χρήση  
ή σε ιατρικά εργαστήρια με απαραίτητο εξοπλισμό.  
Μόνο από ιατρό με σχετική άδεια ή εξειδικευμένο  
προσωπικό υπό επίβλεψη πυρηνικού ιατρού.

ISSN 1790-5427

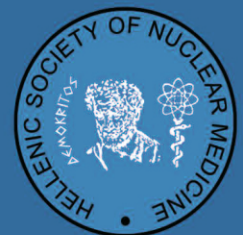
# Hellenic Journal of Nuclear Medicine

Volume 28 • Number 3 • September-December 2025

Indexed/abstracted by: MEDLINE, Science Citation Index Expanded, Journal Citation Reports/Science Edition, EMBASE, Thomson-Reuters and Scopus Info and Index Copernicus. Listed by the International Centre for Scientific Research

The first hellenic journal of nuclear medicine

Impact factor: 1.5



**Original Articles:** Exploration and practice of undergraduate teachingre form of Nuclear Medicine guided by OBE concept under the background of New Medicine. N. Li, H. Liao et al. 190

- Factors predicting cure at one year after administration of radioactive iodine to patients with Graves' disease. A. Montebello, S. Vella et al. 196
- <sup>18</sup>F-FDG PET/CT radiomics model from non-small cell lung cancer for preoperative prediction of lymph node metastasis based on overall data and the subset of occult lymph nodes. R. Lai, Y. Geng et al. 200
- Comparison of myocardial blood flow SPECT imaging with <sup>201</sup>Tl with guidelines. T. Sakuma, Y. Takahashi et al. 212
- The effect of digital PET/CT and reconstruction algorithms on semi-quantitative values and Deauville scoring in patients with lymphoma. S. Sabuncu, F. Özüker et al. 218
- Long-term prognosis of normal stress-only gated myocardial perfusion imaging in 1,000 patients over a 5-year follow-up period. S. Giourgouli, J. Malamitsi et al. 227

**Review Article:** Are <sup>18</sup>F-FDG PET/CT based radiomics features useful for prediction of PD-L1 expression in non-small cell lung cancer? S. H. Yoon, S. J. Kim. 232

**Special Article:** Integrity meets innovation: A first principles approach to the ethics of AI utilization in medical research writing. J. Zwillenberg, E. M. Teichner et al. 246

**Case Report:** A rare case of isolated lung metastases in prostate cancer. A. Paschali, D. Iakovoglou et al. 256

**Image:** <sup>18</sup>F-FDG PET/CT imaging of malignant PEComa originating in the pericardium: A case report. L. Yu, Q. Liu et al. 260

**Image:** <sup>18</sup>F-FDG PET/CT imaging of malignant PEComa originating in the pericardium: A case report. L. Yu, Q. Liu et al. 271

**Image:** <sup>18</sup>F-FDG PET/CT imaging of malignant PEComa originating in the pericardium: A case report. L. Yu, Q. Liu et al. 273